

Tumori maligni dell'utero (179-180, 182)

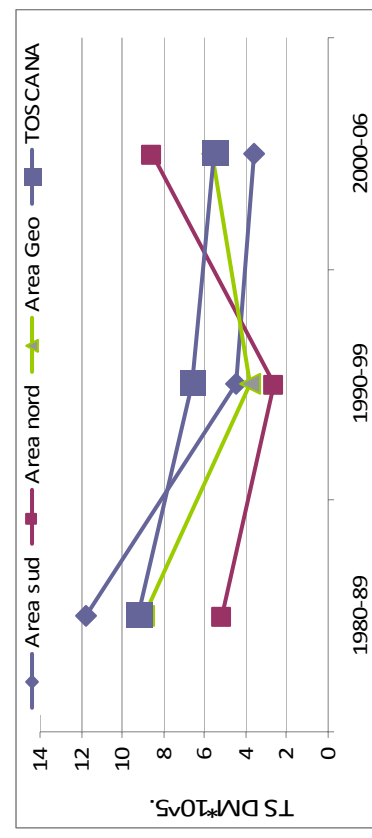


Grafico 6.1.29 - TS DMx10⁵ per periodo e area di studio, rif. Europa.

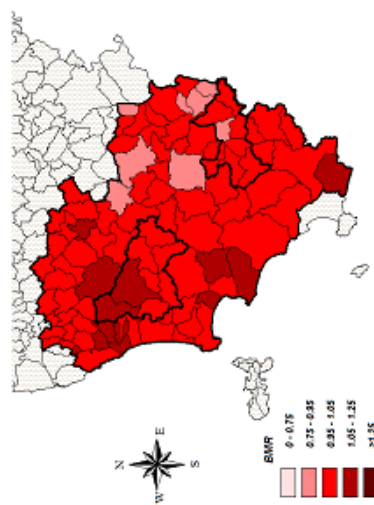


Figura 6.1.25 - Mappa dei BMR in classi, periodo 2000-2006, rif. area 50 km.

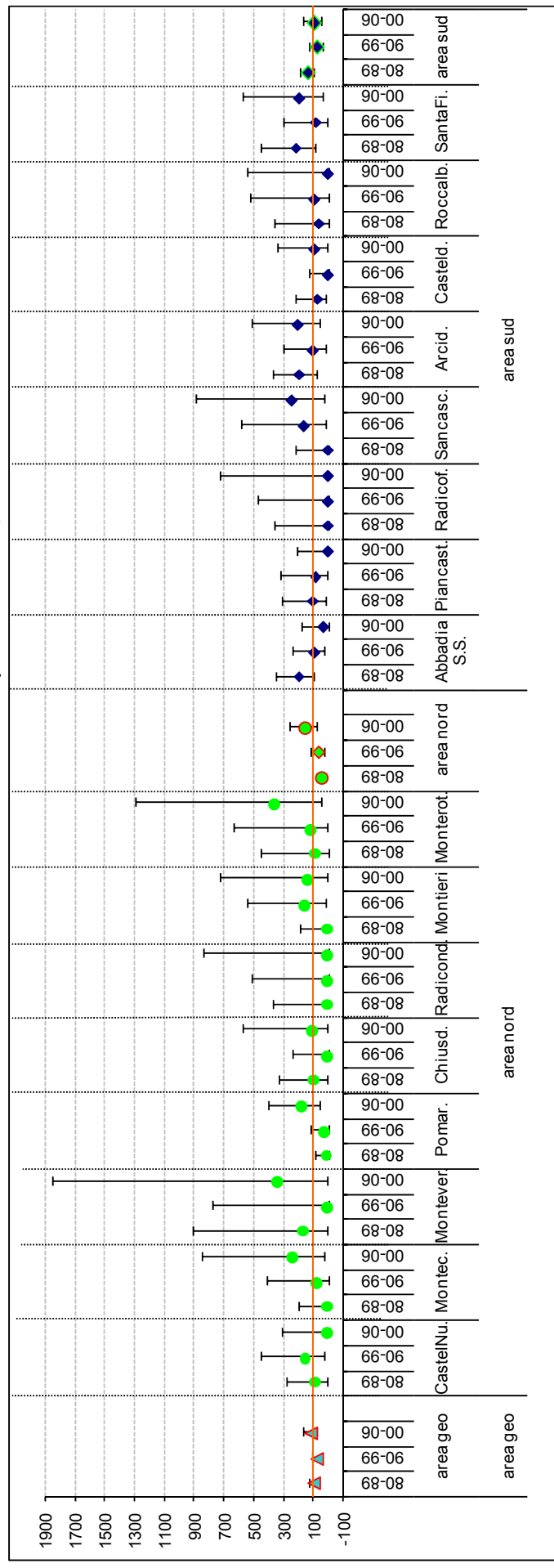


Grafico 6.1.30 - SMR per area/comune in studio e per periodo (1980-1989, 1990-1999, 2000-2006), Rif. area 50 km.

Commento a **Tumori maligni dell'utero (179-180, 182)**

La mortalità è in diminuzione nella regione e nell'area sud con valori inferiori a quelli regionali. Nella zona nord nell'ultimo periodo i tassi sono più alti di quelli regionali.

Gli SMR indicano un andamento crescente nella zona nord ($p=0,005$) con un eccesso ma non significativo nell'ultimo periodo.

Tra i singoli comuni non si rilevano valori statisticamente significativi; si osserva un andamento crescente a Monterotondo Marittimo, Pomarance e a San Casciano dei Bagni ma statisticamente significativo solo a Pomarance ($p=0,016$).

Dalle analisi bayesiane si evidenzia una variabilità della distribuzione spaziale del fenomeno strutturata ma non significativa. Si nota una omogeneità spaziale dell'indicatore bayesiano. Il BMR è per la maggior parte dei comuni intorno a 100. Nessun comune in studio ha il BMR statisticamente significativo.

L'analisi di *clustering* non ha evidenziato alcun *cluster* statisticamente significativo all'interno dell'area in studio.

Tumori maligni dell'ovaio e di altri annessi uterini - (183)

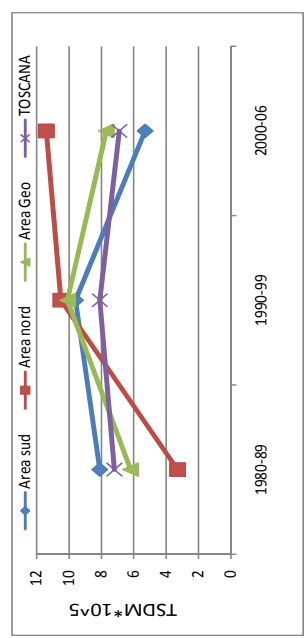


Grafico 6.1.31 - $TSDM \times 10^5$ per periodo e area di studio, rif. Europa.

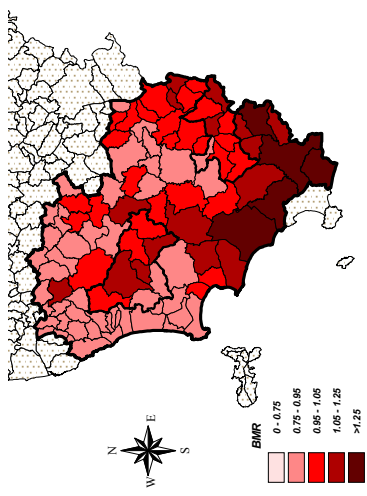


Figura 6.1.26 - Mappa dei BMR in classi, periodo 2000-2006, rif. area 50 km.

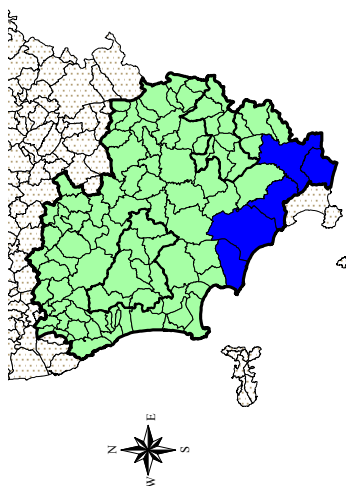


Figura 6.1.27 - Cluster significativi, periodo 2000-2006, rif. area 50 km.

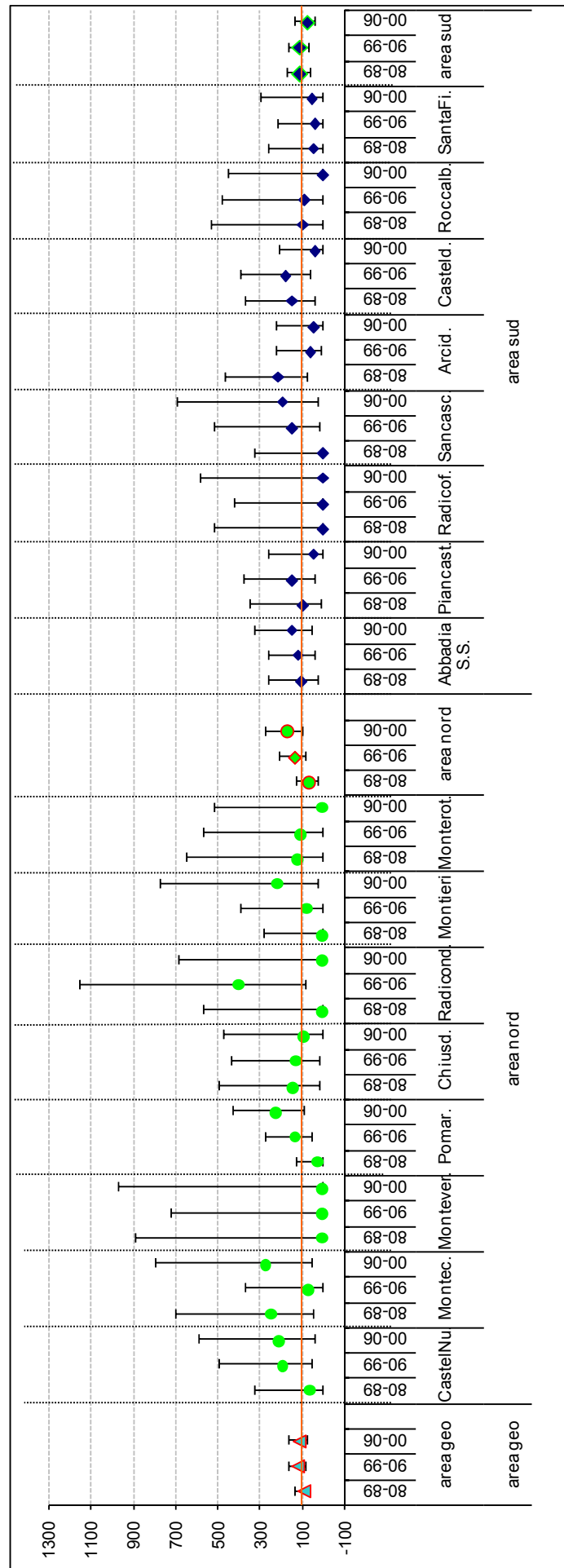


Grafico 6.1-32 - SMR per area/comune in studio e per periodo (1980-1989, 1990-1999, 2000-2006). Rif. area 50 km.

Commento a **Tumori maligni dell'ovaio e di altri annessi uterini (183)**

Il TSDM della Toscana è pressoché costante nei tre periodi in studio. L'area sud ha un tasso leggermente superiore nei primi due periodi rispetto al tasso regionale per poi diminuire e risultare minore alla Toscana. Il tasso della area nord invece è in aumento e nell'ultimo periodo superiore al tasso regionale.

Per l'area sud non si notano SMR in eccesso. Nella zona nord si evidenzia un *trend* statisticamente crescente ($p=0,029$) con un eccesso nell'ultimo periodo rispetto al riferimento regionale ($O=17$, $SMR=186$, $LC95\% = 108,3; 297,9$) e ai limiti della significatività rispetto al riferimento locale ($SMR=169,7$).

Tra i singoli comuni si evidenzia un andamento significativamente crescente a Pomarance ($p=0,017$) con un eccesso di mortalità nell'ultimo periodo solo rispetto al riferimento regionale ($O=8$, $SMR=238,2$, $LC95\% = 102,7; 469,2$).

Dalle analisi bayesiane si evidenzia una variabilità della distribuzione spaziale del fenomeno strutturata ma non significativa. Si nota un andamento spaziale della distribuzione dell'indicatore bayesiano con la presenza di un aggregato di comuni a sud della zona di riferimento. Nessun comune in studio ha il BMR statisticamente significativo.

L'analisi di *clustering* ha messo in evidenza un aggregato di comuni con SMR statisticamente significativo ma tale *cluster* non comprende nessun comune appartenente all'area geotermia.